

# Contribution à l'amélioration de méthodes de discrétisation sans maillage appliquées à la mécanique des milieux continus

Gabriel Fougeron

Directeur : Denis Aubry

Rapporteurs : Piotr Breitkopf  
Nicolas Moës

Encadrement entreprise : Guillaume Pierrot  
Anargiros Kamoulakos

Examineurs : Francisco Chinesta  
Ludovic Chamoin

Financement : ESI Group & ANRT (Cifre n° 2015/0280)

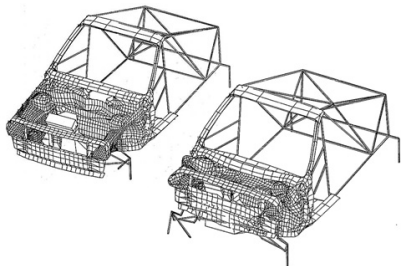


Image reproduite avec la permission de Volkswagen AG.

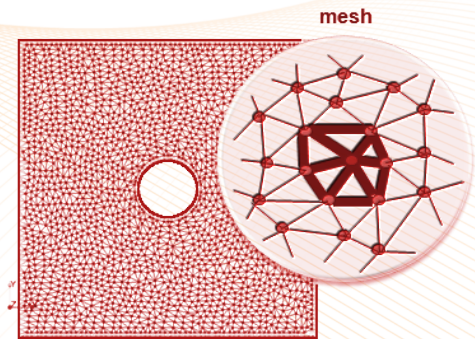


Première simulation industrielle  
de crash-test complet :  
Volkswagen Polo (1985)

Simulation de crash frontal  
Audi A8 (2010)

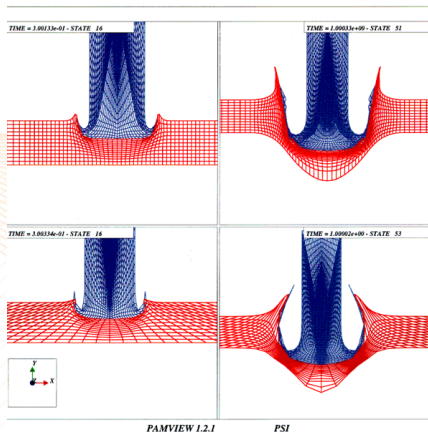


Image reproduite avec la permission d'AUDI AG



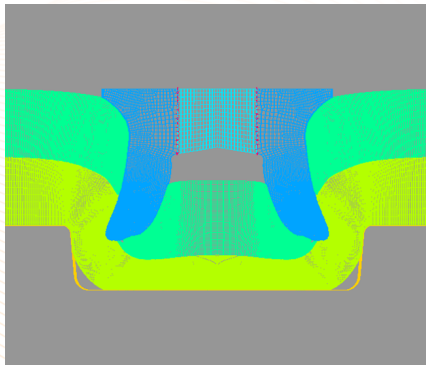
- Tessellation de l'espace
- Notion de dimension d'une cellule (nœud, face, ...)
- DOFs attachés aux cellules
- Relation d'adjacence entre cellules  $\Rightarrow \partial \circ \partial = 0$

# Le maillage : pourquoi vouloir s'en passer ?



Simulation industrielle de poinçonnage

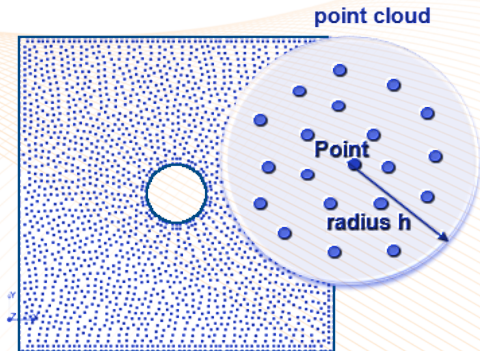
- ⚠ Grande dépendance vis à vis du maillage



Simulation industrielle de rivetage

- ⚠ Changements de topologie

# Vous avez dit sans maillage ?



Position des nœuds uniquement

- Que représente un nœud ?
- Représentation des champs discrets ?
- Où est le domaine ?  
Géométrie ?
- Relier les points du nuage ?

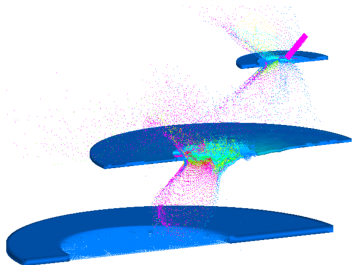
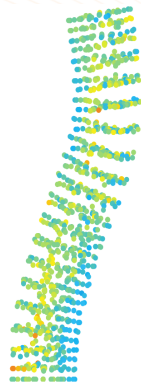


Image reproduite avec la permission  
de l'agence spatiale européenne

Simulation d'impact de débris spatiaux  
sur le bouclier du module européen  
de la station spatiale internationale (1998)

Instabilité en tension dans une  
simulation SPH d'une poutre élastique



[Vidal 2004]



- Revenir à des problèmes simples



- Revenir à des problèmes simples
- Proposer des solutions robustes, susceptibles d'être appliquées à des problèmes industriels





- Revenir à des problèmes simples
- Proposer des solutions robustes, susceptibles d'être appliquées à des problèmes industriels
- Deux grands chantiers :
  - ↪ La compatibilité
  - ↪ La discrétisation du bord



- Revenir à des problèmes simples
- Proposer des solutions robustes, susceptibles d'être appliquées à des problèmes industriels
- Deux grands chantiers :
  - ↪ La compatibilité
  - ↪ La discrétisation du bord
  - ↪ Vers une méthode générale ?

- 1 **Compatibilité des opérateurs sans maillage**
- 2 Discrétiser le bord ... sans nœud au bord ?
- 3 Les volumes nodaux définissent tous les opérateurs sans maillage

### Equation de diffusion :

On cherche  $u \in H^1(\Omega)$  telle que  $\forall v \in H^1(\Omega)$

$$\int_{\Omega} \nabla u \cdot \nabla v \, dV = \int_{\Omega} sv \, dV + \int_{\partial\Omega} gv \, dS$$

## Equation de diffusion :

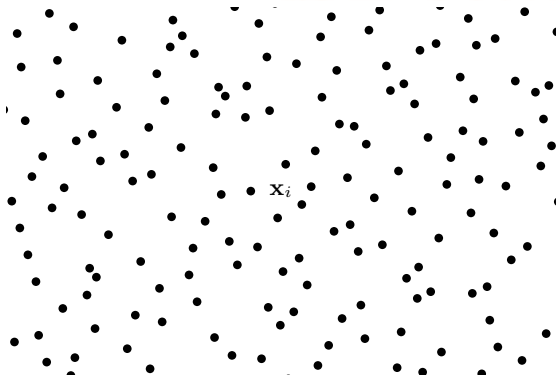
On cherche  $u \in H^1(\Omega)$  telle que  $\forall v \in H^1(\Omega)$

$$\int_{\Omega} \nabla u \cdot \nabla v \, dV = \int_{\Omega} sv \, dV + \int_{\partial\Omega} gv \, dS$$

Equilibre entre flux et sources volumiques et surfaciques.

- Evaluation nodale

$$f(\mathbf{x}_i) \longrightarrow f_i$$



- Evaluation nodale

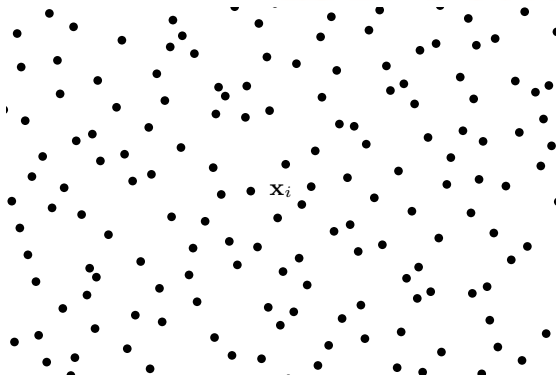
$$f(\mathbf{x}_i) \longrightarrow f_i$$

- Opérateurs nodaux

$$\int_C f$$

$$\int_{\partial C} f$$

$$\nabla$$



- Evaluation nodale

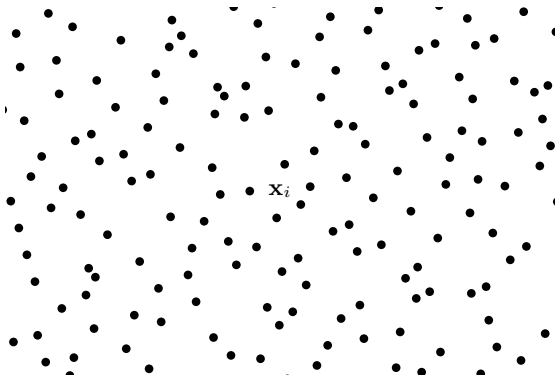
$$f(\mathbf{x}_i) \longrightarrow f_i$$

- Opérateurs nodaux

$$\int_C f \longrightarrow V_i$$

$$\int_{\partial C} f$$

$$\nabla$$



$$\int_{\mathbf{x} \in \Omega} f(\mathbf{x}) \, dV \longrightarrow \int_C f \stackrel{\text{def}}{=} \sum_{i \in C} V_i f(\mathbf{x}_i)$$



- Evaluation nodale

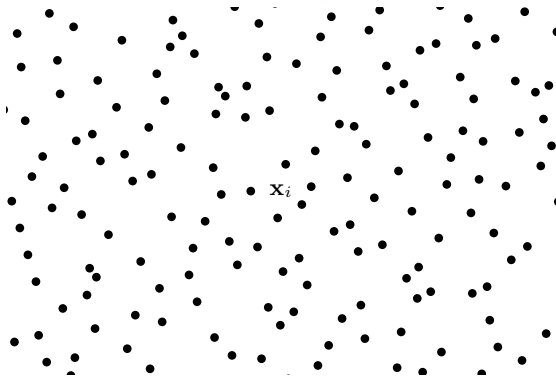
$$f(\mathbf{x}_i) \longrightarrow f_i$$

- Opérateurs nodaux

$$\int_{\mathcal{C}} f \longrightarrow V_i$$

$$\int_{\partial \mathcal{C}} f \longrightarrow \Gamma_{i,j}$$

$$\nabla \longrightarrow \mathbf{A}_{i,j}$$



$$V_i \nabla f(\mathbf{x}_i) \longrightarrow V_i \nabla_i f \stackrel{\text{def}}{=} \sum_{i,j \in \mathcal{C}} \mathbf{A}_{i,j} f(\mathbf{x}_j)$$

- Evaluation nodale

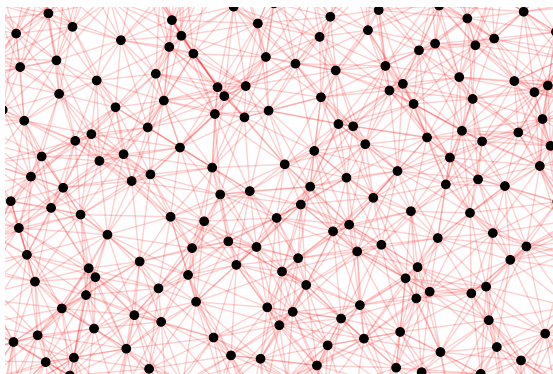
$$f(\mathbf{x}_i) \longrightarrow f_i$$

- Opérateurs nodaux

$$\oint_C f \longrightarrow V_i$$

$$\oint_{\partial C} f \longrightarrow \Gamma_{i,j}$$

$$\nabla \longrightarrow \mathbf{A}_{i,j}$$



$$V_i \nabla f(\mathbf{x}_i) \longrightarrow V_i \nabla_i f \stackrel{\text{def}}{=} \sum_{i,j \in \mathcal{C}} \mathbf{A}_{i,j} f(\mathbf{x}_j)$$

## Diffusion : discrétisation symétrique discrète sans maillage

On cherche  $u : \mathcal{C} \rightarrow \mathbb{R}$  telle que  $\forall v : \mathcal{C} \rightarrow \mathbb{R}$

$$\int_{\mathcal{C}} \nabla u \cdot \nabla v = \int_{\mathcal{C}} sv + \int_{\partial\mathcal{C}} gv$$

## Diffusion : discrétisation symétrique discrète sans maillage

On cherche  $u : \mathcal{C} \rightarrow \mathbb{R}$  telle que  $\forall v : \mathcal{C} \rightarrow \mathbb{R}$

$$\int_{\mathcal{C}} \nabla u \cdot \nabla v = \int_{\mathcal{C}} sv + \int_{\partial\mathcal{C}} gv$$

Discrétiser = Choisir  $\int_{\mathcal{C}}$ ,  $\int_{\partial\mathcal{C}}$ , et  $\nabla$

## Patch test linéaire ?

Capture-t-on exactement une solution linéaire  $u = \mathbf{a} \cdot \mathbf{x} + b$  ?

Deux conditions suffisantes :

## Patch test linéaire ?

Capture-t-on exactement une solution linéaire  $u = \mathbf{a} \cdot \mathbf{x} + b$  ?

Deux conditions suffisantes :

## Consistance linéaire

$$\nabla(\mathbf{a} \cdot \mathbf{x} + b) = \mathbf{a}$$

## Patch test linéaire ?

Capture-t-on exactement une solution linéaire  $u = \mathbf{a} \cdot \mathbf{x} + b$  ?

Deux conditions suffisantes :

### Consistance linéaire

$$\nabla(\mathbf{a} \cdot \mathbf{x} + b) = \mathbf{a}$$

### Formule de Stokes

$$\oint_C \nabla v = \int_{\partial C} v$$

## Patch test linéaire ?

Capture-t-on exactement une solution linéaire  $u = \mathbf{a} \cdot \mathbf{x} + b$  ?

Deux conditions suffisantes :

### Consistance linéaire

$$\nabla(\mathbf{a} \cdot \mathbf{x} + b) = \mathbf{a}$$

### Formule de Stokes

$$\oint_C \nabla v = \int_{\partial C} v$$

Moindre carrés mobiles  
[Lancaster et Salkauskas 1981]

Erreur d'intégration  
[Bonet et Kulasegaram 2000]

Renormalisation  
[Randles et Libersky 1996]  
[Lanson et Vila 2008]

"Row-sum condition"  
[Babůška 2008]



## Patch test linéaire ?

Capture-t-on exactement une solution linéaire  $u = \mathbf{a} \cdot \mathbf{x} + b$  ?

Deux conditions suffisantes :

### Consistance linéaire

$$\nabla(\mathbf{a} \cdot \mathbf{x} + b) = \mathbf{a}$$

Moindre carrés mobiles  
[Lancaster et Salkauskas 1981]

Renormalisation  
[Randles et Libersky 1996]  
[Lanson et Vila 2008]

### Formule de Stokes

$$\oint_C \nabla v = \int_{\partial C} v$$

Erreur d'intégration  
[Bonet et Kulasegaram 2000]

"Row-sum condition"  
[Babůška 2008]

Integration par parties  $\Rightarrow$  définition du gradient dual  $\nabla^*$

$$\int_C f \nabla \cdot \mathbf{v} + \mathbf{v} \cdot \nabla^* f = \int_{\partial C} f \mathbf{v}$$

Integration par parties  $\Rightarrow$  définition du gradient dual  $\nabla^*$

$$\int_C f \nabla \cdot \mathbf{v} + \mathbf{v} \cdot \nabla^* f = \int_{\partial C} f \mathbf{v}$$

Diffusion symétrique (loin du bord)

$$-\nabla^* \cdot \nabla u = s$$

Integration par parties  $\Rightarrow$  définition du gradient dual  $\nabla^*$

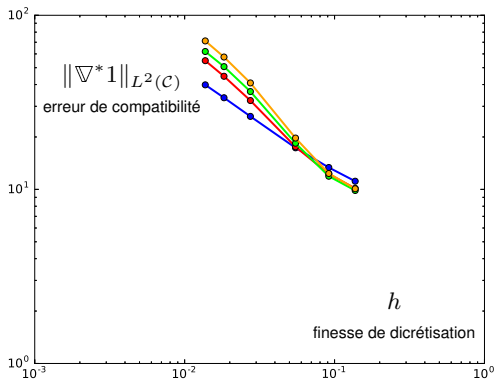
$$\int_C f \nabla \cdot \mathbf{v} + \mathbf{v} \cdot \nabla^* f = \int_{\partial C} f \mathbf{v}$$

Diffusion symétrique (loin du bord)

$$-\nabla^* \cdot \nabla u = s$$

Compatibilité = Consistance duale d'ordre zéro

$$\int_C \nabla \cdot \mathbf{v} = \int_{\partial C} \mathbf{v} \Leftrightarrow \nabla^* 1 = \mathbf{0}$$



- SPH classique
- SPH renormalisé 0
- SPH renormalisé 1
- Moindres carrés mobiles diffus ordre 1

Observation :

$$\|\nabla^* 1\|_{L^2(C)} \propto h^{-1}$$

Compatibilité = Consistance duale d'ordre zéro

$$\int_C \nabla \cdot \mathbf{v} = \int_{\partial C} \mathbf{v} \quad \Leftrightarrow \quad \nabla^* 1 = \mathbf{0}$$

$$\int_C f \nabla \cdot \mathbf{v} = \begin{pmatrix} f_1 \\ \vdots \\ f_i \\ \vdots \\ f_{n_n} \end{pmatrix} \cdot \begin{pmatrix} \mathbf{A}_{1,1} & \dots & \mathbf{A}_{1,n_n} \\ \vdots & \ddots & \vdots \\ \mathbf{A}_{i,j} & \dots & \vdots \\ \vdots & \ddots & \vdots \\ \mathbf{A}_{n_n,1} & \dots & \mathbf{A}_{n_n,n_n} \end{pmatrix} \cdot \begin{pmatrix} \mathbf{v}_1 \\ \vdots \\ \mathbf{v}_j \\ \vdots \\ \mathbf{v}_{n_n} \end{pmatrix}$$

## Consistance

$$\int_C f \nabla \cdot \mathbf{v} = \begin{pmatrix} f_1 \\ \vdots \\ f_i \\ \vdots \\ f_{n_n} \end{pmatrix} \cdot \begin{pmatrix} \mathbf{A}_{1,1} & \dots & \mathbf{A}_{1,n_n} \\ \vdots & \ddots & \vdots \\ \vdots & \mathbf{A}_{i,j} & \vdots \\ \vdots & \ddots & \vdots \\ \mathbf{A}_{n_n,1} & \dots & \mathbf{A}_{n_n,n_n} \end{pmatrix} \cdot \begin{pmatrix} \mathbf{v}_1 \\ \vdots \\ \mathbf{v}_j \\ \vdots \\ \mathbf{v}_{n_n} \end{pmatrix}$$

Compatibilité

Consistance

$$\int_C f \nabla \cdot \mathbf{v} = \begin{pmatrix} f_1 \\ \vdots \\ f_i \\ \vdots \\ f_{n_n} \end{pmatrix} \cdot \begin{pmatrix} \mathbf{A}_{1,1} & \dots & \mathbf{A}_{1,n_n} \\ \vdots & \ddots & \vdots \\ \vdots & \mathbf{A}_{i,j} & \vdots \\ \vdots & \ddots & \vdots \\ \mathbf{A}_{n_n,1} & \dots & \mathbf{A}_{n_n,n_n} \end{pmatrix} \cdot \begin{pmatrix} \mathbf{v}_1 \\ \vdots \\ \mathbf{v}_j \\ \vdots \\ \mathbf{v}_{n_n} \end{pmatrix}$$

The diagram illustrates the coupling between compatibility and consistency. A red box highlights the  $f_i$  component of the source vector and the  $\mathbf{A}_{i,j}$  component of the matrix, representing the compatibility condition. A green box highlights the  $\mathbf{A}_{i,j}$  component of the matrix and the  $\mathbf{v}_j$  component of the velocity vector, representing the consistency condition.



Compatibilité

Consistance

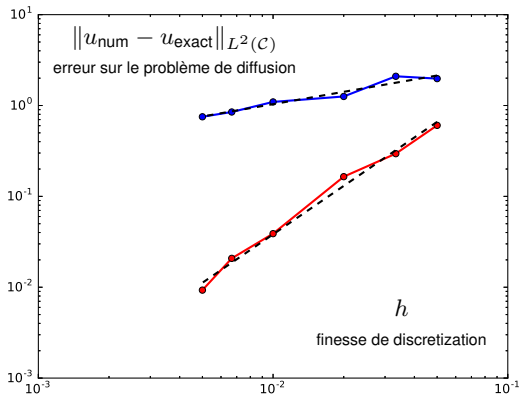
$$\int_C f \nabla \cdot \mathbf{v} = \begin{pmatrix} f_1 \\ \vdots \\ f_i \\ \vdots \\ f_{n_n} \end{pmatrix} \cdot \begin{pmatrix} \mathbf{A}_{1,1} & \dots & \mathbf{A}_{1,n_n} \\ \vdots & \ddots & \vdots \\ \vdots & \mathbf{A}_{i,j} & \vdots \\ \vdots & \vdots & \ddots \\ \mathbf{A}_{n_n,1} & \dots & \mathbf{A}_{n_n,n_n} \end{pmatrix} \cdot \begin{pmatrix} \mathbf{v}_1 \\ \vdots \\ \mathbf{v}_j \\ \vdots \\ \mathbf{v}_{n_n} \end{pmatrix}$$

Forme nécessaire des gradients linéairement consistants

$$\tilde{\nabla}_i u = \nabla_i u + \sum_{j \in \mathcal{N}(i)} \lambda_{i,j} (u_j - u_i - \nabla_i u \cdot (\mathbf{x}_j - \mathbf{x}_i))$$

Correction pour la compatibilité : on cherche  $\lambda$ 

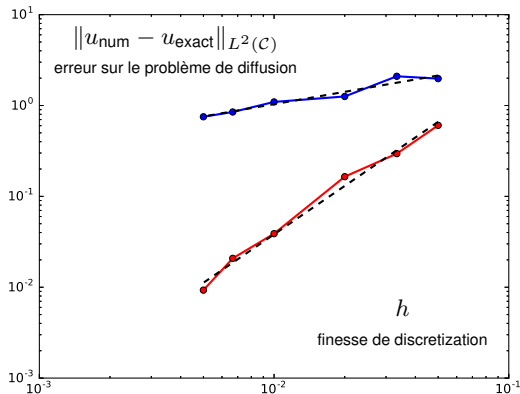
$$\text{Minimiser } \sum_{i,j \in \mathcal{C}} \frac{1}{W_h(\mathbf{x}_j - \mathbf{x}_i)} \lambda_{i,j}^2 \text{ sous la contrainte } \tilde{\nabla}^* \mathbf{1} = \mathbf{0}$$



## Gradient SPH renormalisé 1

Non corrigé  
 Erreur > 100%

Corrigé  
 $\|u_{\text{num}} - u_{\text{exact}}\| \propto h^{1.77}$



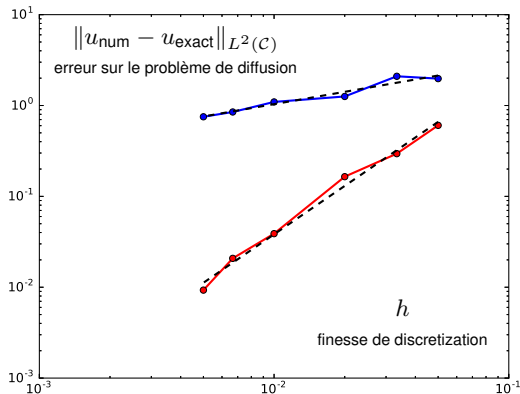
## Gradient SPH renormalisé 1

Non corrigé  
 Erreur > 100%

Corrigé  
 $\|u_{\text{num}} - u_{\text{exact}}\| \propto h^{1.77}$

😊 Les plus

- Convergence quasi-optimale



## Gradient SPH renormalisé 1

Non corrigé  
 Erreur > 100%

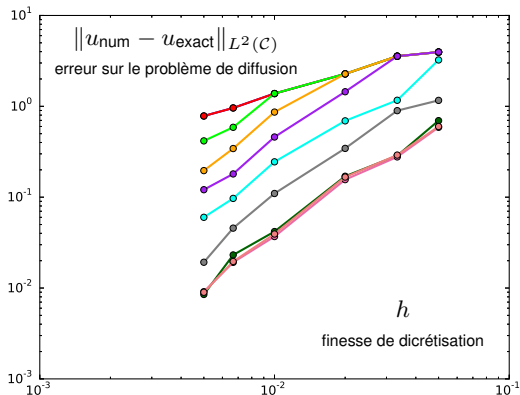
Corrigé  
 $\|u_{\text{num}} - u_{\text{exact}}\| \propto h^{1.77}$

☺ Les plus

- Convergence quasi-optimale

☹ Les moins

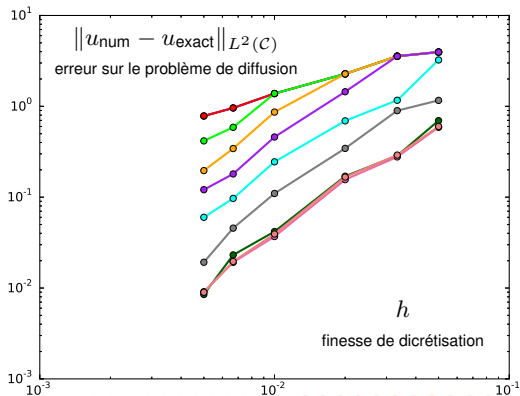
- Coûteux ( $\kappa \propto h^{-4}$ )



Erreur de compatibilité :

- $\|\nabla^* 1\| \leq 50$
- $\|\nabla^* 1\| \leq 20$
- $\|\nabla^* 1\| \leq 10$
- $\|\nabla^* 1\| \leq 5$
- $\|\nabla^* 1\| \leq 2$
- $\|\nabla^* 1\| \leq 1$
- $\|\nabla^* 1\| \leq 0.5$
- $\|\nabla^* 1\| \leq 0.2$
- $\|\nabla^* 1\| \leq 0.1$

Observation :  $\|\nabla^* 1\| = \mathcal{O}(1)$  au lieu de l'habituel  $\|\nabla^* 1\| = \mathcal{O}(h^{-1})$   
 $\Rightarrow$  Convergence optimale !



Erreur de compatibilité :

- $\|\nabla^* 1\| \leq 50$
- $\|\nabla^* 1\| \leq 20$
- $\|\nabla^* 1\| \leq 10$
- $\|\nabla^* 1\| \leq 5$
- $\|\nabla^* 1\| \leq 2$
- $\|\nabla^* 1\| \leq 1$
- $\|\nabla^* 1\| \leq 0.5$
- $\|\nabla^* 1\| \leq 0.2$
- $\|\nabla^* 1\| \leq 0.1$

[G. Pierrot, G. Fougeron (2015, September) Enforcing differentiation/integration compatibility in meshless methods with nodal integration, Presented at the IV<sup>th</sup> International Conference on Particle-Based Methods Barcelona, Spain]

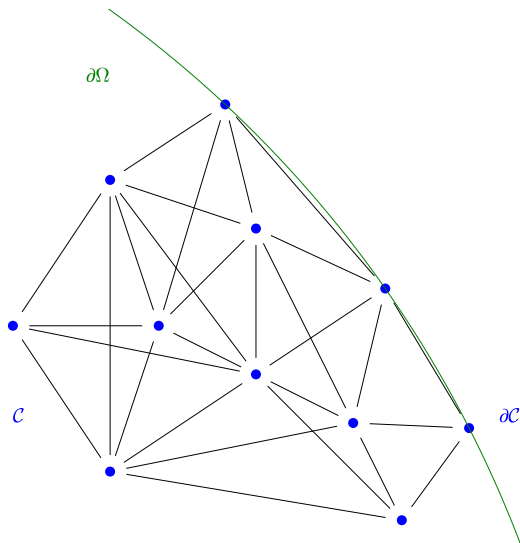
- Cadre nodal : Discrétiser  $\Leftrightarrow$  Construire  $\int_C$ ,  $\int_{\partial C}$ ,  $\nabla$

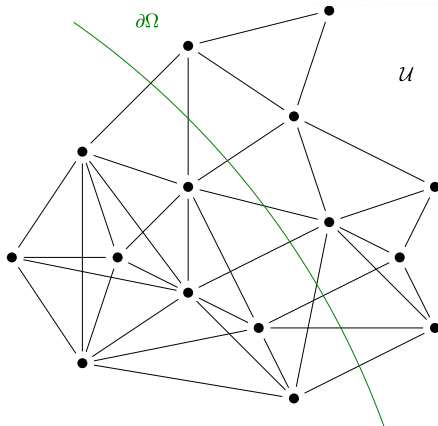
- Cadre nodal : Discrétiser  $\Leftrightarrow$  Construire  $\int_C$ ,  $\int_{\partial C}$ ,  $\nabla$
- Consistance + Compatibilité = Convergence optimale

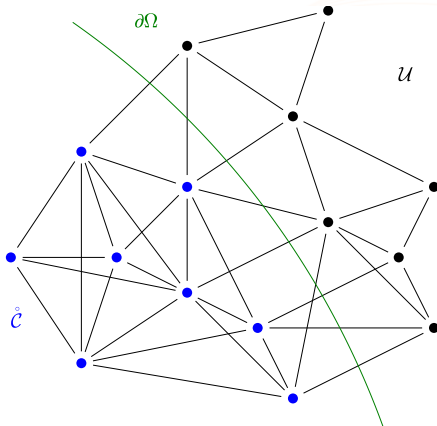


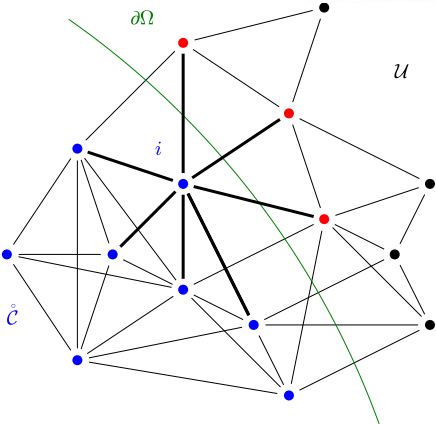
- Cadre nodal : Discrétiser  $\Leftrightarrow$  Construire  $\int_C$ ,  $\int_{\partial C}$ ,  $\nabla$
- Consistance + Compatibilité = Convergence optimale
- Compatibilité approchée  $\|\nabla^* 1\| = \mathcal{O}(1)$  suffisante !

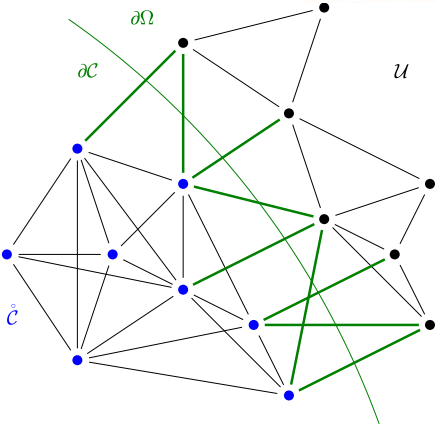
- 1 Compatibilité des opérateurs sans maillage
- 2 Discrétiser le bord ... sans nœud au bord ?**
- 3 Les volumes nodaux définissent tous les opérateurs sans maillage

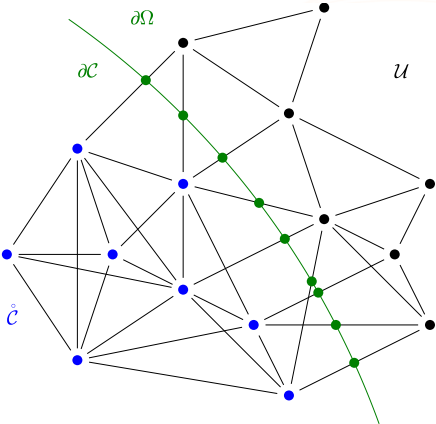




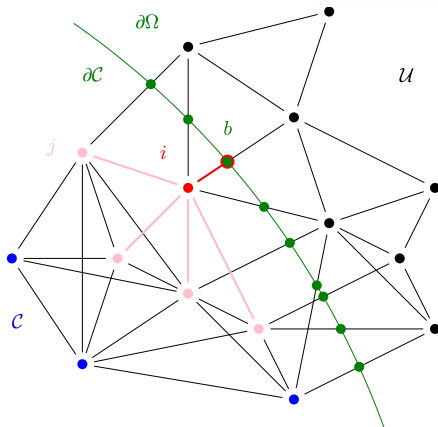




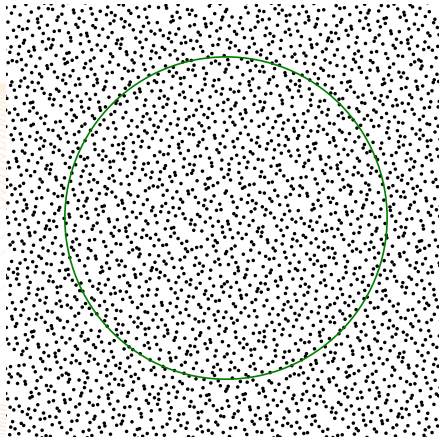




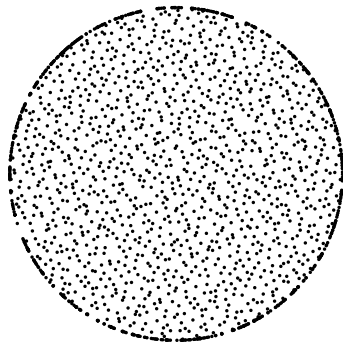




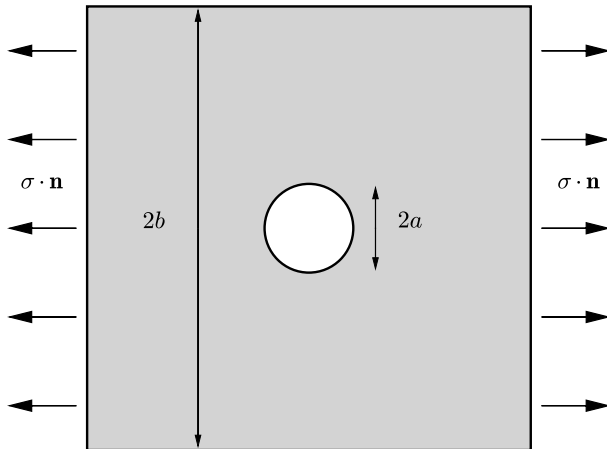
$$H^1(\mathcal{C}) = \{u : \mathcal{C} \rightarrow \mathbb{R} \mid \forall b = (i, o) \in \partial\mathcal{C}, u_b = u_i + \nabla_i u \cdot (\mathbf{x}_b - \mathbf{x}_i)\}$$



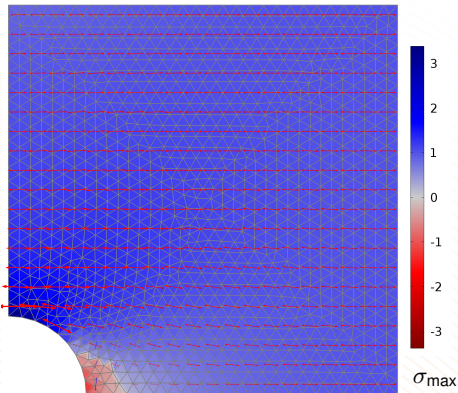
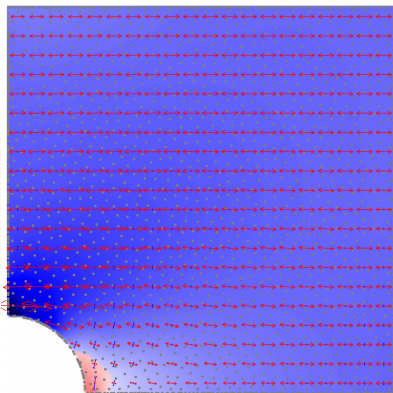
Nuage initial et géométrie



Nuage restreint



Question : parvient-on à capturer la concentration de contraintes ?



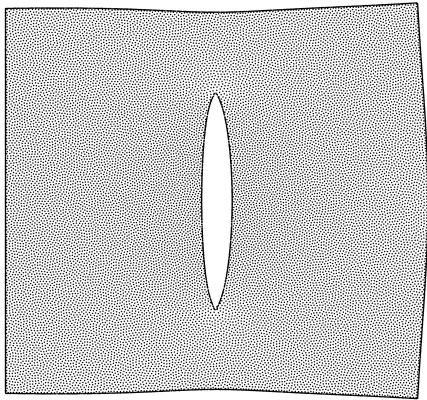
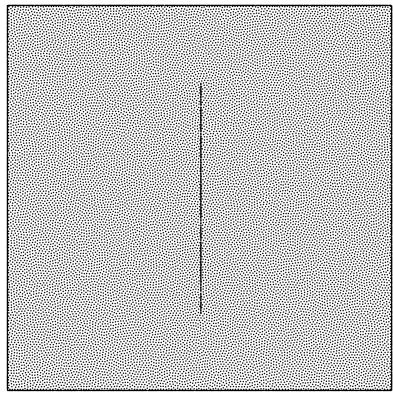
Concentration de contraintes théorique :  $\frac{\sigma_{sup}}{\sigma_{bord}} \approx 3.13$  [Pilkey 1994]

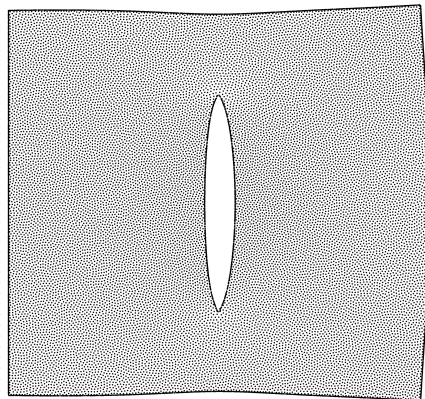
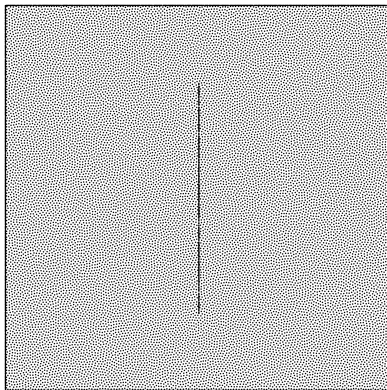
DMLS + Correction compatible  
+ restriction nuage (1235 nœuds)

$$\frac{\sigma_{sup}}{\sigma_{bord}} \approx 3.22 \quad \text{erreur : 2.3\%}$$

Elements finis P1 (Comsol)  
2111 cellules et 1113 nœuds

$$\frac{\sigma_{sup}}{\sigma_{bord}} \approx 3.38 \quad \text{erreur : 8.0\%}$$





[G. Fougeron, G. Pierrot, D. Aubry (2017, June) Imposition of natural and essential boundary conditions in embedded meshless methods using nodal integration, *Presented at X-DMS 2017, Umeå University, Sweden*]

[G. Fougeron, D. Aubry (2019) Imposition of boundary conditions for elliptic equations in the context of non boundary fitted meshless methods, *Computer Methods in Applied Mechanics and Engineering* volume 343, pages 506-529]

- On a construit une méthode sans maillage à frontière immergée  
⇒ Plus besoin de placer des nœuds au bord !

Original

- On a construit une méthode sans maillage à frontière immergée  
⇒ Plus besoin de placer des nœuds au bord !
- Construction géométrique simple et adaptable aux cas limites

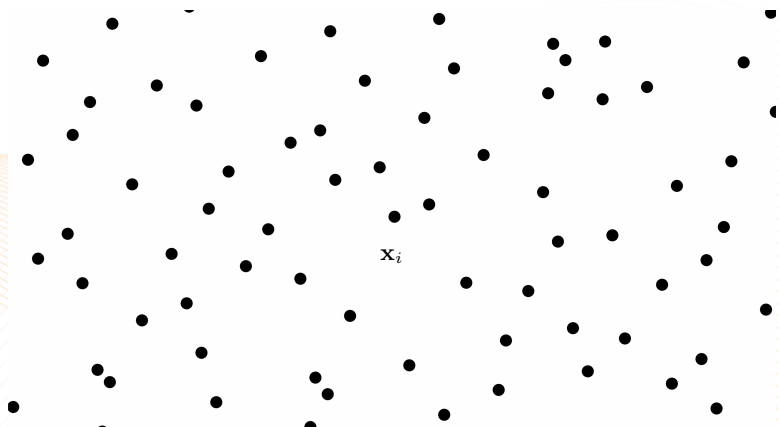
Original



- On a construit une méthode sans maillage à frontière immergée  
⇒ Plus besoin de placer des nœuds au bord !
- Construction géométrique simple et adaptable aux cas limites
- Consistance + Compatibilité = Convergence optimale  
⇒ Pas de condition supplémentaire !



- 1 Compatibilité des opérateurs sans maillage
- 2 Discrétiser le bord ... sans nœud au bord ?
- 3 Les volumes nodaux définissent tous les opérateurs sans maillage**



$$V_i(\mathbf{x}_1, \dots, \mathbf{x}_{n_n}, \Omega) \Rightarrow \int_{\mathbf{x} \in \Omega} f(\mathbf{x}) dV \approx \oint_C f = \sum_{i \in \mathcal{C}} V_i f(\mathbf{x}_i)$$

## Dérivée de Lie : intégrale dans un flot externe

$$\frac{d}{dt} \int_{\Omega} f = \int_{\Omega} \frac{df}{dt} + f \nabla \cdot \mathbf{v}$$

## Dérivée de Lie : intégrale dans un flot externe

$$\frac{d}{dt} \int_{\Omega} f = \int_{\Omega} \frac{df}{dt} + f \nabla \cdot \mathbf{v}$$

## Équivalent discret : définition de $\nabla$

$$\frac{d}{dt} \oint_C f \stackrel{\text{def}}{=} \oint_C \frac{df}{dt} + f \nabla \cdot \mathbf{v}$$

[Mikhailova et Shaskov 1986] : Voronoi

[Serrano et Español 2005] : SPH

[Goes *et al.* 2015] : "Power particles" (Voronoi généralisé)

Dérivée de Lie : intégrale dans un flot externe

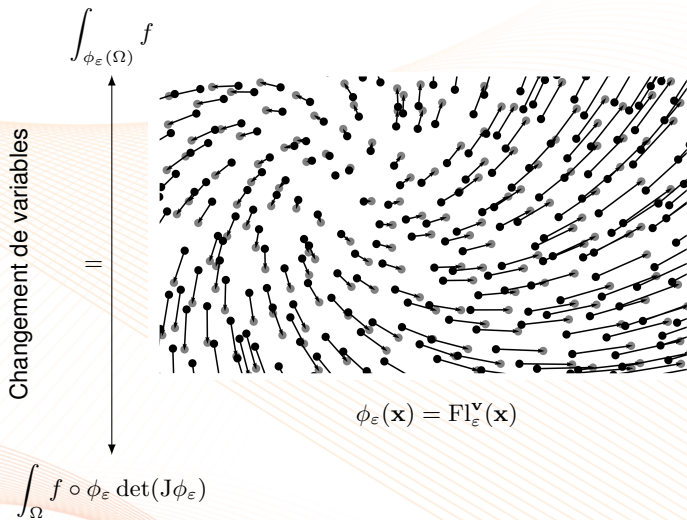
$$\frac{d}{dt} \int_{\Omega} f = \int_{\Omega} \frac{df}{dt} + f \nabla \cdot \mathbf{v}$$

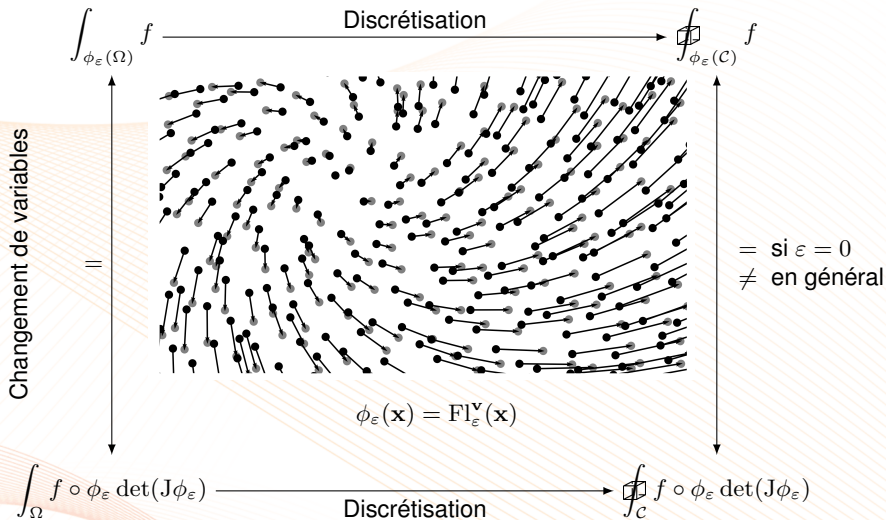
Équivalent discret : définition de  $\nabla$

$$\frac{d}{dt} \oint_{\mathcal{C}} f \stackrel{\text{def}}{=} \oint_{\mathcal{C}} \frac{df}{dt} + f \nabla \cdot \mathbf{v}$$

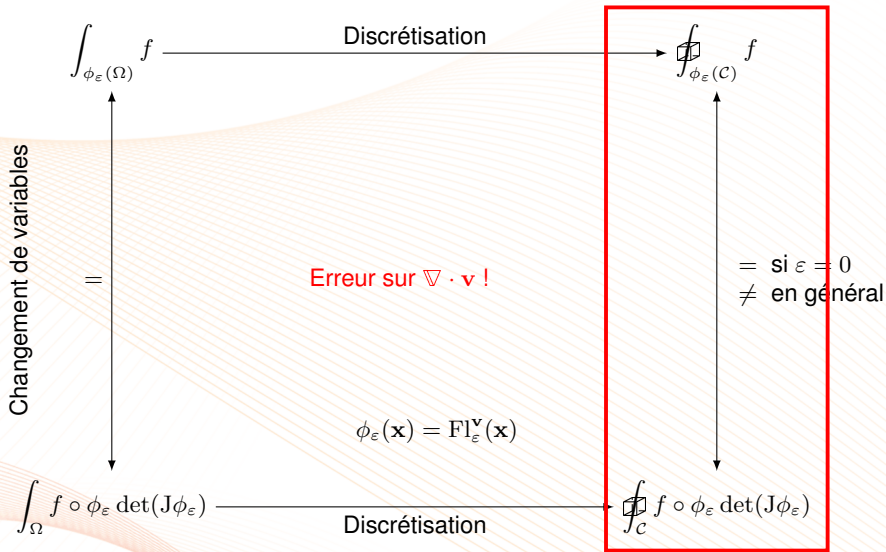
Gradient primal : un volume dans son voisinage

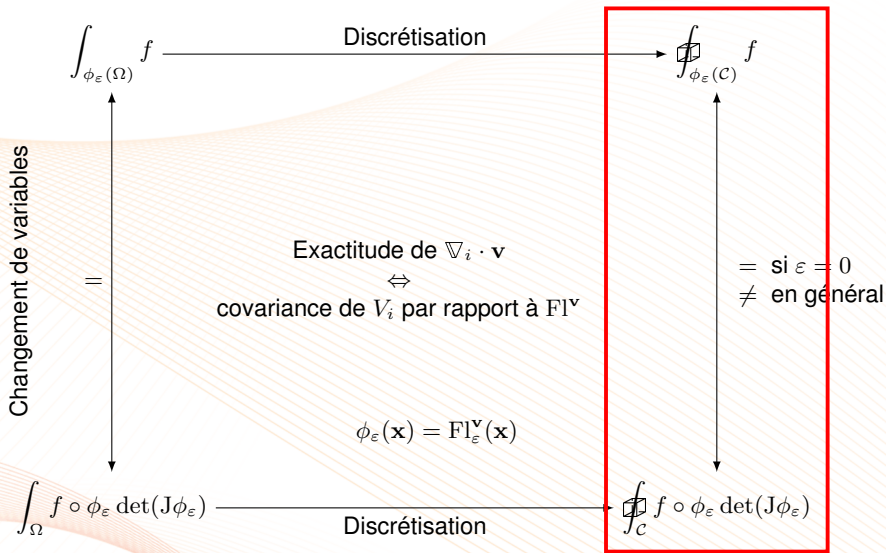
$$V_i \nabla_i \cdot \mathbf{v} = \sum_{j \in \mathcal{C}} \frac{dV_i}{dx_j} \cdot \mathbf{v}_j$$



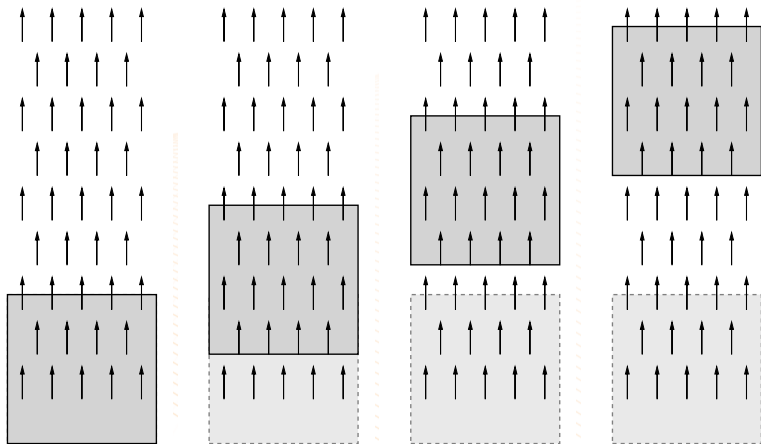






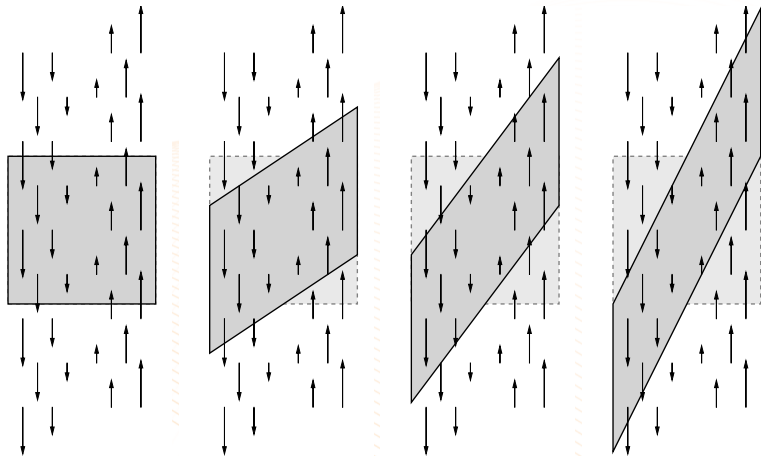


# Advection par un champ uniforme



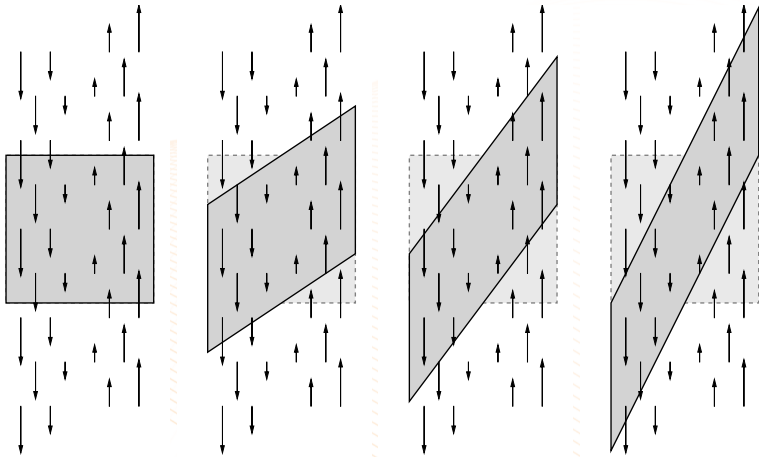
$$\nabla_i \cdot \mathbf{a} = 0 \quad \Leftrightarrow \quad V_i(\mathbf{x}_1 + \mathbf{a}, \dots, \mathbf{x}_{n_n} + \mathbf{a}, \Omega + \mathbf{a}) = V_i(\mathbf{x}_1, \dots, \mathbf{x}_{n_n}, \Omega)$$

# Advection par un champ linéaire



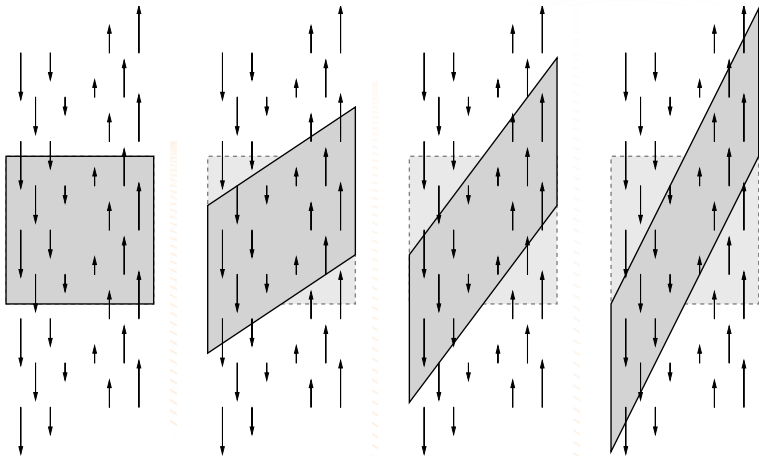
$$\nabla_i \cdot (\mathbf{B}\mathbf{x}) = \text{Tr}(\mathbf{B}) \quad \Leftrightarrow \quad V_i(\mathbf{B}\mathbf{x}_1, \dots, \mathbf{B}\mathbf{x}_n, \mathbf{B}\Omega) = \det(\mathbf{B})V_i(\mathbf{x}_1, \dots, \mathbf{x}_n, \Omega)$$

# Advection par un champ linéaire



Conjecture : **localité** et **consistance linéaire** sont irréconciliables dans le cas des gradients volumiques

# Advection par un champ linéaire



Conjecture : **localité** et **consistance linéaire** sont irréconciliables dans le cas des gradients volumiques

Démontrée avec une hypothèse supplémentaire d'indiscernabilité

## Les nœuds entraînent la géométrie : dérivation composée

$$\begin{aligned}\oint_{\mathcal{C}} f \nabla \cdot \mathbf{v} &= \frac{d}{dt} \sum_{i \in \mathcal{C}} V_i(\mathbf{x}_1, \dots, \mathbf{x}_{n_n}, \Omega) f_i \\ &= \sum_{i \in \mathcal{C}} f_i \sum_{j \in \mathcal{C}} \left( \frac{\partial V_i}{\partial \Omega} \cdot \frac{\partial \Omega}{\partial \mathbf{x}_j} + \frac{\partial V_i}{\partial \mathbf{x}_j} \right) \cdot \mathbf{v}_j\end{aligned}$$

## Les nœuds entraînent la géométrie : dérivation composée

$$\begin{aligned} \oint_{\mathcal{C}} f \nabla \cdot \mathbf{v} &= \frac{d}{dt} \sum_{i \in \mathcal{C}} V_i(\mathbf{x}_1, \dots, \mathbf{x}_{n_n}, \Omega) f_i \\ &= \sum_{i \in \mathcal{C}} f_i \sum_{j \in \mathcal{C}} \left( \frac{\partial V_i}{\partial \Omega} \cdot \frac{\partial \Omega}{\partial \mathbf{x}_j} + \frac{\partial V_i}{\partial \mathbf{x}_j} \right) \cdot \mathbf{v}_j \end{aligned}$$

## Contribution du domaine $\Omega$ : intégration au bord

$$\oint_{\partial\mathcal{C}} f \mathbf{v} \stackrel{\text{def}}{=} \sum_{i,j \in \mathcal{C}} f_i \left( \frac{\partial V_i}{\partial \Omega} \cdot \frac{\partial \Omega}{\partial \mathbf{x}_j} \right) \cdot \mathbf{v}_j$$


 Original



## Les nœuds entraînent la géométrie : dérivation composée

$$\begin{aligned} \oint_{\mathcal{C}} f \nabla \cdot \mathbf{v} &= \frac{d}{dt} \sum_{i \in \mathcal{C}} V_i(\mathbf{x}_1, \dots, \mathbf{x}_{n_n}, \Omega) f_i \\ &= \sum_{i \in \mathcal{C}} f_i \sum_{j \in \mathcal{C}} \left( \frac{\partial V_i}{\partial \Omega} \cdot \frac{\partial \Omega}{\partial \mathbf{x}_j} + \frac{\partial V_i}{\partial \mathbf{x}_j} \right) \cdot \mathbf{v}_j \end{aligned}$$

Contribution du domaine  $\Omega$  : intégration au bord

$$\oint_{\partial\mathcal{C}} f \mathbf{v} \stackrel{\text{def}}{=} \sum_{i,j \in \mathcal{C}} f_i \left( \frac{\partial V_i}{\partial \Omega} \cdot \frac{\partial \Omega}{\partial \mathbf{x}_j} \right) \cdot \mathbf{v}_j$$

Original

## Contribution d'un seul nœud : gradient dual

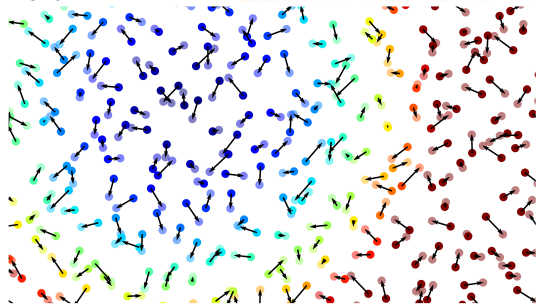
$$V_i \nabla_i^* f = - \sum_{j \in \mathcal{C}} \frac{\partial V_j}{\partial \mathbf{x}_i} f_j$$

$$\frac{d}{d\varepsilon} \left( \int_{\phi_\varepsilon(\Omega)} f \right) \Big|_{\varepsilon=0}$$

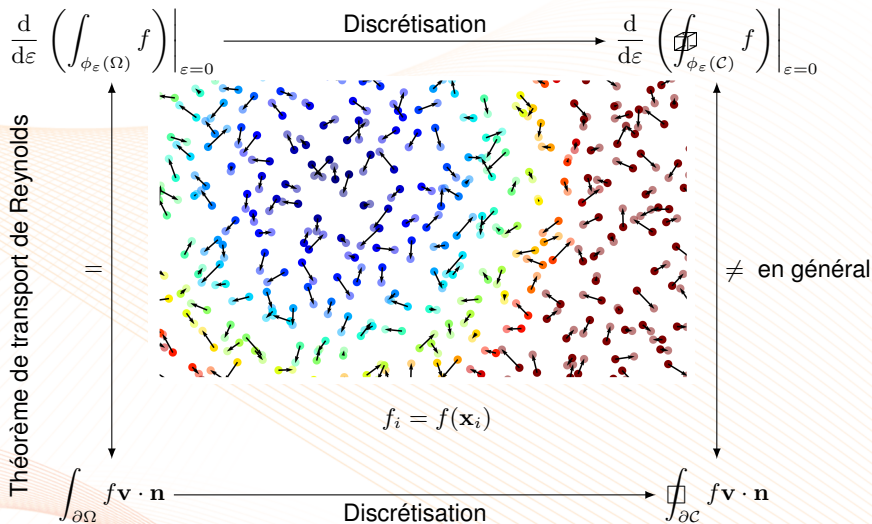
Théorème de transport de Reynolds

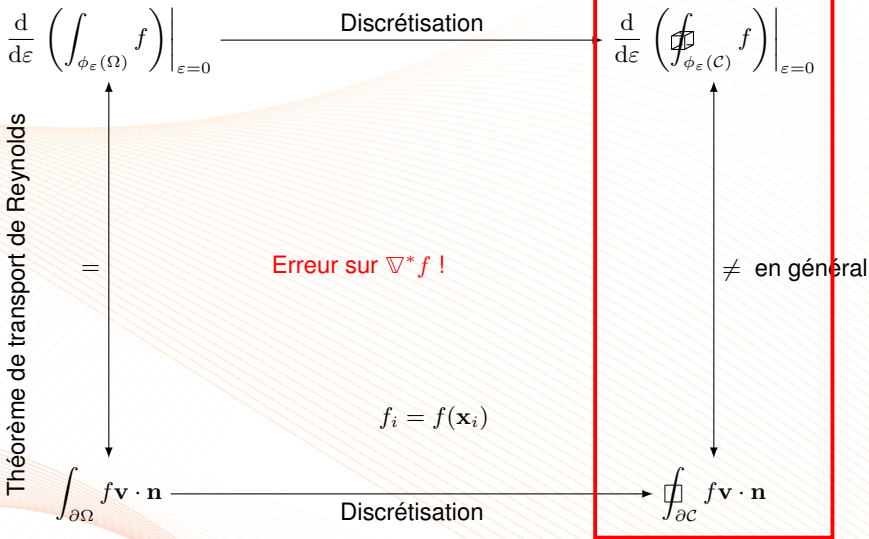
=

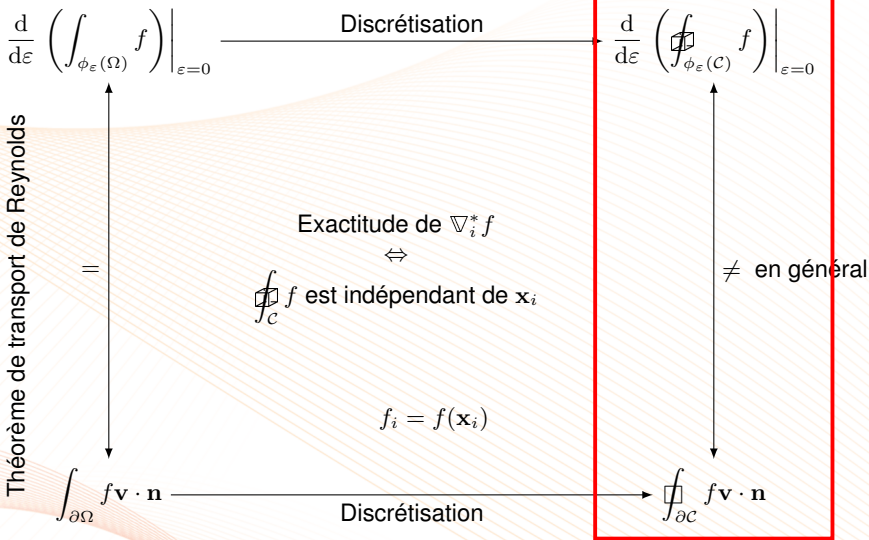
$$\int_{\partial\Omega} f \mathbf{v} \cdot \mathbf{n}$$



$$f_i = f(\mathbf{x}_i)$$





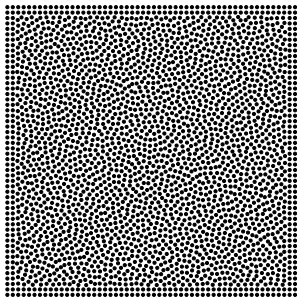
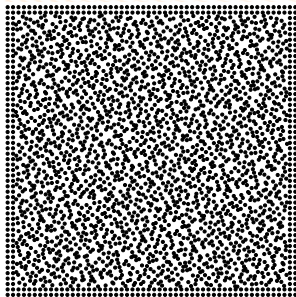


## Effet stabilisant d'une force de pression uniforme en SPH ?

$$m_i \frac{d\mathbf{v}_i}{dt} = \mathbf{f}_i - V_i \nabla_i^* P_u = \mathbf{f}_i + V_i P_u \frac{\partial}{\partial \mathbf{x}_i} V_{\text{tot}}$$

## Effet stabilisant d'une force de pression uniforme en SPH ?

$$m_i \frac{d\mathbf{v}_i}{dt} = \mathbf{f}_i - V_i \nabla_i^* P_u = \mathbf{f}_i + V_i P_u \frac{\partial}{\partial \mathbf{x}_i} V_{\text{tot}}$$

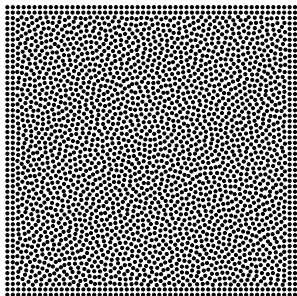
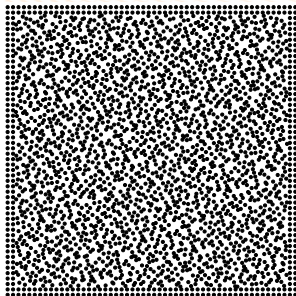


SPH :  $\|\nabla^* 1\| \approx 29.1$

SPH :  $\|\nabla^* 1\| \approx 1$

## Effet stabilisant d'une force de pression uniforme en SPH ?

$$m_i \frac{d\mathbf{v}_i}{dt} = \mathbf{f}_i - V_i \nabla_i^* P_u = \mathbf{f}_i + V_i P_u \frac{\partial}{\partial \mathbf{x}_i} V_{\text{tot}}$$



[G. Fougéron, G. Pierrot, D. Aubry (2016, June) Recovery of differentiation/integration compatibility of meshless operators via local adaptation of the point cloud in the context of nodal integration, *Proceedings of the European Congress on Computational Methods in Applied Sciences and Engineering 2016*]



## Reconstruction sans maillage (Ex : MLS)

$$f(\mathbf{x}) = \sum_{i \in \mathcal{C}} \phi_i(\mathbf{x}) f(\mathbf{x}_i) \quad \Rightarrow \quad V_i = \int_{\mathbf{x} \in \Omega} \phi_i(\mathbf{x}) dV$$

## Reconstruction sans maillage (Ex : MLS)

$$f(\mathbf{x}) = \sum_{i \in \mathcal{C}} \phi_i(\mathbf{x}) f(\mathbf{x}_i) \quad \Rightarrow \quad V_i = \int_{\mathbf{x} \in \Omega} \phi_i(\mathbf{x}) dV$$

### 😊 Les plus

- $\nabla^* f$  exact si  $f$  reproduite

## Reconstruction sans maillage (Ex : MLS)

$$f(\mathbf{x}) = \sum_{i \in \mathcal{C}} \phi_i(\mathbf{x}) f(\mathbf{x}_i) \quad \Rightarrow \quad V_i = \int_{\mathbf{x} \in \Omega} \phi_i(\mathbf{x}) dV$$

### 😊 Les plus

- $\nabla^* f$  exact si  $f$  reproduite
- $\nabla 1 = 0$

## Reconstruction sans maillage (Ex : MLS)

$$f(\mathbf{x}) = \sum_{i \in \mathcal{C}} \phi_i(\mathbf{x}) f(\mathbf{x}_i) \quad \Rightarrow \quad V_i = \int_{\mathbf{x} \in \Omega} \phi_i(\mathbf{x}) dV$$

### 😊 Les plus

- $\nabla^* f$  exact si  $f$  reproduite
- $\nabla 1 = 0$
- Echanger  $\nabla$  et  $\nabla^*$   
⇒ Patch test OK!

## Reconstruction sans maillage (Ex : MLS)

$$f(\mathbf{x}) = \sum_{i \in \mathcal{C}} \phi_i(\mathbf{x}) f(\mathbf{x}_i) \quad \Rightarrow \quad V_i = \int_{\mathbf{x} \in \Omega} \phi_i(\mathbf{x}) dV$$

### ☺ Les plus

- $\nabla^* f$  exact si  $f$  reproduite
- $\nabla 1 = 0$
- Echanger  $\nabla$  et  $\nabla^*$   
 $\Rightarrow$  Patch test OK!

### ☹ Les moins

- Calcul de  $\int_{\mathbf{x} \in \Omega} \phi_i(\mathbf{x}) dV$  ?

## Reconstruction sans maillage (Ex : MLS)

$$f(\mathbf{x}) = \sum_{i \in \mathcal{C}} \phi_i(\mathbf{x}) f(\mathbf{x}_i) \quad \Rightarrow \quad V_i = \int_{\mathbf{x} \in \Omega} \phi_i(\mathbf{x}) dV$$

### ☺ Les plus

- $\nabla^* f$  exact si  $f$  reproduite
- $\nabla 1 = 0$
- Echanger  $\nabla$  et  $\nabla^*$   
 $\Rightarrow$  Patch test OK!

### ☹ Les moins

- Calcul de  $\int_{\mathbf{x} \in \Omega} \phi_i(\mathbf{x}) dV$  ?
- Conserver la consistance et la compatibilité

## Reconstruction sans maillage (Ex : MLS)

$$f(\mathbf{x}) = \sum_{i \in \mathcal{C}} \phi_i(\mathbf{x}) f(\mathbf{x}_i) \quad \Rightarrow \quad V_i = \int_{\mathbf{x} \in \Omega} \phi_i(\mathbf{x}) dV$$

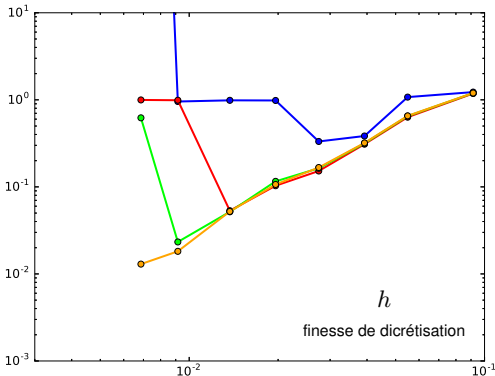
### ☺ Les plus

- $\nabla^* f$  exact si  $f$  reproduite
- $\nabla 1 = 0$
- Echanger  $\nabla$  et  $\nabla^*$   
 $\Rightarrow$  Patch test OK!

### ☹ Les moins

- Calcul de  $\int_{\mathbf{x} \in \Omega} \phi_i(\mathbf{x}) dV$  ?
- Conserver la consistance et la compatibilité
- Utiliser un maillage ?

$\|u_{\text{num}} - u_{\text{exact}}\|_{L^2(\mathcal{C})}$   
erreur sur le problème de diffusion



Maillage d'intégration :

- $\approx 2 \times 10^3$  cellules
- $\approx 1 \times 10^4$  cellules
- $\approx 5 \times 10^4$  cellules
- $\approx 1 \times 10^5$  cellules

Convergence optimale ... tant que l'intégration est assez fine



- La définition de poids volumiques contient à elle seule tous les opérateurs nécessaires  
⇒ Plus de corrections *ad-hoc* en tout genre

Original

- La définition de poids volumiques contient à elle seule tous les opérateurs nécessaires  
⇒ Plus de corrections *ad-hoc* en tout genre
- La consistance du gradient primal ne peut dépasser l'ordre un
- La consistance du gradient dual peut atteindre tout ordre  
⇒ Théoriquement, patch test = OK!

Original

Original

- La définition de poids volumiques contient à elle seule tous les opérateurs nécessaires  
⇒ Plus de corrections *ad-hoc* en tout genre

Original

- La consistance du gradient primal ne peut dépasser l'ordre un
- La consistance du gradient dual peut atteindre tout ordre  
⇒ Théoriquement, patch test = OK!

Original

- On a utilisé un maillage pour transférer consistance et compatibilité au niveau numérique  
⇒ Comment s'en passer ?

- La définition de poids volumiques contient à elle seule tous les opérateurs nécessaires  
⇒ Plus de corrections *ad-hoc* en tout genre

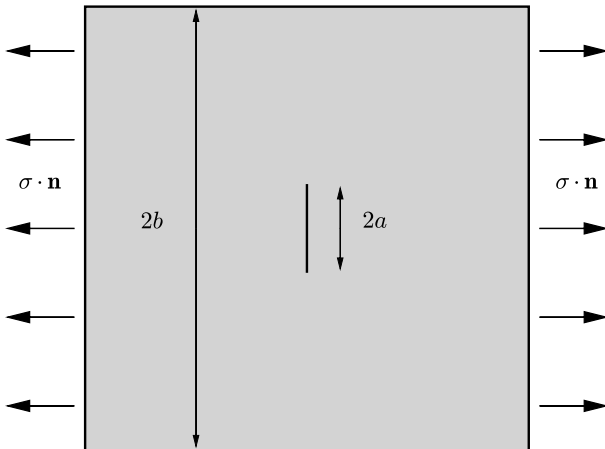
Original

- La consistance du gradient primal ne peut dépasser l'ordre un
- La consistance du gradient dual peut atteindre tout ordre  
⇒ Théoriquement, patch test = OK!

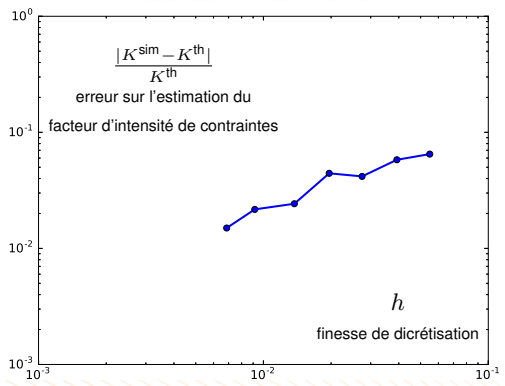
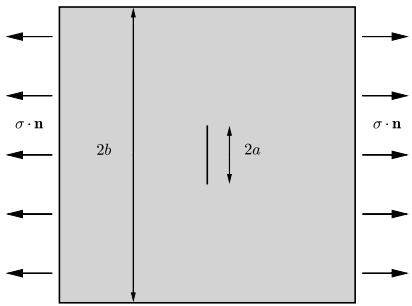
Original

- On a utilisé un maillage pour transférer consistance et compatibilité au niveau numérique  
⇒ Comment s'en passer ?

[G. Fougeron, D. Aubry (2018) Volume generalized dependencies : a powerful tool to characterize and generate meshless operators. SIAM Journal on Scientific Computing (Under Review)]



Question : parvient-on à capturer le facteur d'intensité de contraintes ?  
(Important pour prédire la propagation de la fissure)



$$\frac{K^{th}}{\sigma \sqrt{\pi a}} \approx 1.02$$

[Rooke et Cartwright 1976]

Méthode "des volumes" :  
Intégration fonctions MLS sur maillage

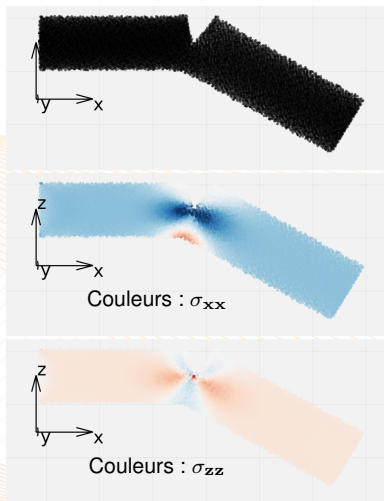
Estimation par la "méthode theta"  
Convergence  $\propto h^{0.7}$

- Consistance + Compatibilité (approchée) = Convergence optimale

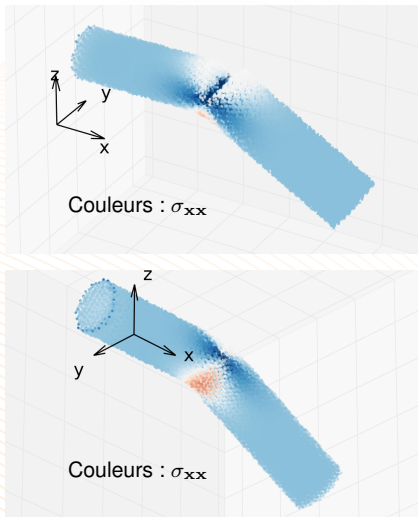
- Consistance + Compatibilité (approchée) = Convergence optimale
- Une construction géométrique simple permet de capturer le bord en contournant la nécessité de placer des nœuds au bord



- Consistance + Compatibilité (approchée) = Convergence optimale
- Une construction géométrique simple permet de capturer le bord en contournant la nécessité de placer des nœuds au bord
- La méthode des volumes permet un traitement unifié des questions de consistance, compatibilité et bord



Vue en coupe de profil



Vues de trois-quarts

- Industrialisation : grandes déformations, adaptativité locale du nuage, ...

- Industrialisation : grandes déformations, adaptativité locale du nuage, ...
- À quel point les résultats s'étendent ils aux méthodes d'intégration non nodales ?

- Industrialisation : grandes déformations, adaptativité locale du nuage, ...
- À quel point les résultats s'étendent ils aux méthodes d'intégration non nodales ?
- Pourra-t-on un jour *vraiment* se débarrasser du maillage ?

Merci de votre attention